

# 聚合物阵列波导光栅的大范围电-光波长调谐滤波器\*

万 旭 彭保进 金洪震

(浙江师范大学信息光学研究所, 浙江金华 321004)

**摘 要** 从阵列波导光栅的光栅方程入手, 分析了聚合物阵列波导光栅采用电-光效应进行波长调谐的原理, 提出了具有单推挽结构和双推挽结构的电-光波长可调谐滤波器. 并用 Optiwave 软件分别对无推挽结构和推挽结构波长调谐器进行了计算机仿真. 结果表明: 当外加电压从 -100 V 增加到 +100 V 时, 前者的波长调谐范围约为 5 nm, 而后者中, 单推挽结构的波长调谐范围为约 10 nm, 双推挽结构的波长调谐范围可达 20 nm.

**关键词** 集成光学; 电-光效应; 波长调谐; 滤波器; AWG; 推挽结构

**中图分类号** TN29 **文献标识码** A

## 0 引言

波长调谐滤波器是一种重要的选频器件. 它可以应用于 DWDM 全光分/插复用器, 实现在网络的节点上可以选择上下光路信号<sup>[1]</sup>; 也可以用于光纤光栅外腔激光器、光纤激光器中, 实现可调谐激光输出, 或实现动态波长锁定<sup>[2]</sup>; 在波长调制型传感器中, 可调谐滤波也可以得到广泛的应用<sup>[6]</sup>. 人们对多种类型的波长可调谐滤波器展开了研究<sup>[1~5]</sup>.

在阵列波导光栅(AWG)中, 利用热-光效应, 在 InP 阵列波导光栅实现了 10 nm 的波长调谐器<sup>[3]</sup>. 在 SiO<sub>2</sub>/Si 阵列波导光栅, 实现了约 6 nm 的波长调谐范围<sup>[7]</sup>. 由于聚合物阵列波导光栅具有较大的热-光系数, 它的调节范围达到了 20 nm<sup>[4]</sup>. 由于利用电-光效应的阵列波导光栅具有更快的响应速度(响应时间小于 1 ps)<sup>[7]</sup>, 因而, 基于电-光效应的阵列波导波长调谐也受到人们的关注, 在外加电压为 -100 V 到 100 V 的变化时, 聚合物阵列波导的波长调节范围约为 5 nm<sup>[7,8]</sup>.

由于聚合物材料具有电光响应速度快, 介电常量小、电光系数大、热-光系数大、电光转换效率高, 相应器件的制作工艺简单, 具有良好的抗电磁干扰等优点<sup>[1,2]</sup>, 使得聚合物材料在电-光波导波长调谐滤波器中也得到了应用<sup>[4,9,12]</sup>.

## 1 理论分析

图 1 为一 4×4 阵列波导光栅的结构. 当一束单色光信号经过一根输入波导传输后, 波前在星形耦合器的自由空间区内辐射, 再经过一个固定长度差的阵列波的传输, 到第二个星形耦合器的自由空间区聚焦输出<sup>[1]</sup>.

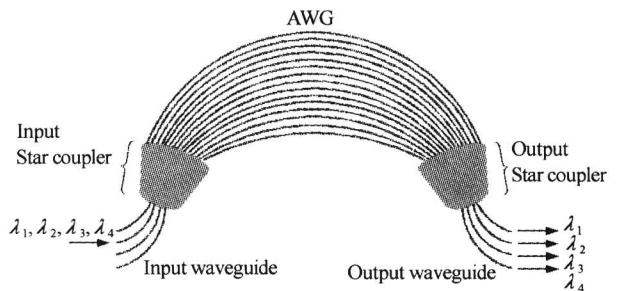


图 1 N×N 阵列波导光栅的结构  
Fig. 1 Planar structure of N×N arrayed waveguide

图 1 中, 假设相邻波导间的长度差为  $\Delta L$ , 输入端、输出端相邻波导的间隔为  $d_i, d_o$ , 令  $d_i = d_o = d$ . 星形耦合器的聚焦半径为  $L_f$ , 自由空间区和阵列波导的有效折射率分别为  $n_c$  和  $n_s$ , 阵列波导数目为  $M$ , 输入输出的光束角分别为  $\theta_i$  和  $\theta_o$ , 通常  $\theta_i = \theta_o = \theta$ . 它们满足光栅方程

$$n_c \cdot \Delta L + kn_s d \theta = m \lambda \quad (1)$$

式(1)中,  $m$  为 AWG 工作的衍射级,  $k$  为波导输出口序号. 式(1)中,  $\theta$  取 0, 对应的波长为阵列波导的中心波长  $\lambda_0$ , 满足

$$n_c \cdot \Delta L = m \lambda_0 \quad (2)$$

### 1.1 阵列波导波长的调谐

从式(1)可知, 要实现阵列波导输出波长的调谐可以通过改变 AWG 的相邻阵列波导的光程差实现. 利用波导材料的电-光效应, 在阵列波导的部分区域加上电极进行电-光调制, 使得相邻阵列波导的光程差发生变化, 如图 2. 如果由于电-光效应引起相邻

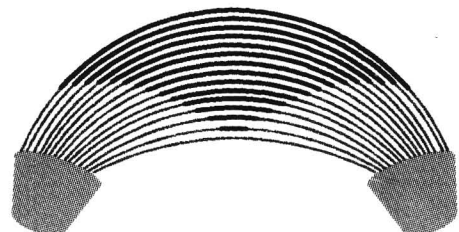


图 2 用电光效应实现的可调谐阵列波导光栅结构  
Fig. 2 Sketch of an AWG with top electrodes (in back) to exploit additional phase shift by electro-optic effect

\*浙江省自然科学基金(M603243)资助项目  
Tel: 0579-2298863 Email: wanxu@zjnu.cn  
收稿日期: 2005-10-12

阵列波导的光程差的变化量为  $\Delta n_c \cdot \Delta L_e$ , 其中  $\Delta n_c$  为由于电-光效应引起的波导折射率的变化量,  $\Delta L_e$  为相邻阵列波导间电极的长度差. 于是, 第  $k$  个输出出口的波长变为  $\lambda'$

$$\lambda' = \frac{n_c \cdot \Delta L + \Delta n_c \cdot \Delta L_e + k \cdot n_s \cdot d \cdot \theta}{m} \quad (3)$$

由式(1)和式(3)可以得到: 第  $k$  个输出出口的波长的调谐量  $\Delta\lambda$  为

$$\Delta\lambda = \frac{\Delta n_c \Delta L_e}{m} \quad (4)$$

将式(2)代入式(4), 得到

$$\Delta\lambda = \lambda_0 \frac{\Delta n_c \Delta L_e}{n_c \Delta L} \quad (5)$$

## 1.2 器件结构和电压设置

电光调制材料可以使用聚合物. 阵列波导采用脊波导, 波导高度为  $h_g$ , 脊高为  $h_r$ . 为了实现阵列波导中低损耗传输, 在波导上下分别加上覆盖层和缓冲层, 高度分别为  $h_1$  和  $h_2$ . 施加电场的两电极分布在覆盖层和缓冲层的上下方. 图 3 为阵列波导的一个截面, 光波沿  $X$  方向传播, 图中参量是用光波传播的有限元算法软件计算给出的<sup>[7,9]</sup>.

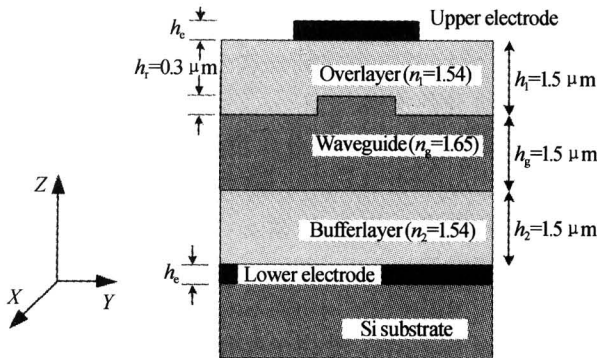


图 3 阵列波导的截面及其参量

Fig. 3 A section of AWG waveguide with the calculated parameters for the optimum design

聚合物的电光张量矩阵如下<sup>[8,10]</sup>

$$\begin{pmatrix} 0 & 0 & r_{13} \\ 0 & 0 & r_{13} \\ 0 & 0 & r_{33} \\ 0 & r_{13} & 0 \\ r_{13} & 0 & 0 \\ 0 & 0 & 0 \end{pmatrix} \quad (6)$$

通常  $r_{33} = 3r_{13}$ . 当外加电场沿  $Z$  方向时, 外加电压不改变输出光的偏振态, 只改变其相位. 各方向的折射率可以用表示为<sup>[10]</sup>

$$\begin{cases} n_x(E) \cong n_x(0) - 2^{-1} n_x^3 r_{13} E_z \\ n_y(E) \cong n_y(0) - 2^{-1} n_y^3 r_{13} E_z \\ n_z(E) \cong n_z(0) - 2^{-1} n_z^3 r_{33} E_z \end{cases} \quad (7)$$

由式(7)和式(5)可以得到外加电压  $\delta V$  与电压控制波长调谐  $\Delta\lambda$  的关系式

$$\Delta\lambda = \left(\frac{\lambda_0}{n_c}\right) \left(\frac{1}{2} n_0^3 r_{33}\right) \left(\frac{\Delta L_e}{\Delta L}\right) \left(\frac{\delta V}{W}\right) \quad (8)$$

式(8)中  $W$  为两电极之间的距离. 同时可得  $\Delta\lambda$  随  $\delta V$  是线性变化的.

目前, 采用聚合物掺杂发色团 CLD-75 在  $150^\circ\text{C}$ ,  $8\text{ kV}$  电压下放电  $30\text{ min}$ <sup>[2]</sup> 的方法, 可以得到电光系数为  $40\text{ pm/V}$  的聚合物, 理论上电光系数可达到  $50\text{ pm/V}$ .

如果取  $\lambda_0 = 1550\text{ nm}$ ,  $\Delta L_e = \Delta L$ , 及图 3 的参量, 式(8)通过计算得到

$$\Delta\lambda = 25.09 \times 10^{-3} \delta V \quad (\text{nm}) \quad (9)$$

## 2 阵列波导光栅电光调制的推挽结构

由式(8)分析知, 要增大调谐的范围有几种方法: 其一, 增大电光系数  $r_{33}$ ; 其二, 减小波导厚度以减小两电极之间的距离  $W$ ; 其三, 增大相邻阵列波导间电场长度差  $\Delta L_e$  与波导长度  $\Delta L$  的比. 受材料和工艺的限制采用前二种方法是难以实现的, 因为在参量选择中几乎已达到最佳值. 另外, 由阵列波导的结构可以计算出  $\frac{\Delta L_e}{\Delta L}$  的最大值.

$$\left(\frac{\Delta L_e}{\Delta L}\right)_{\max} = 1 + \frac{L_0}{\Delta L \cdot (M-1)} \quad (10)$$

式(10)中,  $L_0$  为阵列波导长度的初始值. 由式(10)可知, 采用第三种方法需要增加 AWG 的面积.

式(3)可知, 要增大波长调谐范围应增大由电光调制产生的相移. 而借用 Mach-Zehnder 电光调制方法, 采用推挽结构可达到 2 倍相移的效果<sup>[10]</sup>. 推挽方法可以有二种: 其一, 采用电推挽, 即用反极性电压加在的 Mach-Zehnder 干涉臂上. 第二种方法是光推挽方法, 即两臂外加相同电压, 改变臂上电光调制的长度, 达到相反相移的效果<sup>[10,11]</sup>.

图 4 为采用光推挽技术设计的 AWG 推挽结构波长调谐器. 把外加调制电压的电极分为二组, 二组分别外加相同的电压.

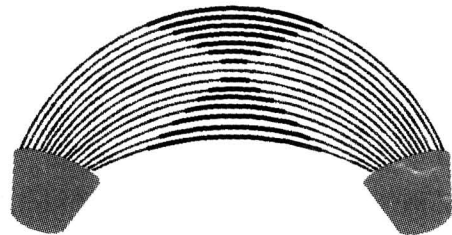


图 4 用光推挽实现的单推挽结构阵列波导光栅结构  
Fig. 4 Sketch of wavelength tuner of AWG with the single push-pull using optical approach

由波导长度本身产生的光程  $L_G$  为

$$L_{Gi} = [L_0 + (i-1) \cdot \Delta L] \cdot n_c \quad (11)$$

由电光调制产生的额外光程  $L_{EO}$  为

$$L_{EOi} = 2 \cdot (i - (M+1/2)) \cdot \Delta L_e \cdot \Delta n_c \quad (12)$$

于是得到总的光程差  $\Delta L_T$  为

$$\Delta L_T = \Delta L_G + \Delta L_{EO} = n_c \cdot \Delta L + 2 \cdot \Delta n_c \cdot \Delta L_e \quad (13)$$

于是可得到相应的波长调谐量为

$$\Delta\lambda = 2\lambda_0 \frac{\Delta n_c \cdot \Delta L_e}{n_c \cdot \Delta L} \quad (14)$$

式(14)与式(10)相比,波长的调谐能力扩大了一倍.

同理,可以设计双推挽 AWG 波长调谐器. 先将 AWG 的波导分四组,再将四组分为上下两区,把两区分别设计为推挽结构的形式,最后,将上下两区产生的相移也组成推挽形式,如图 5.

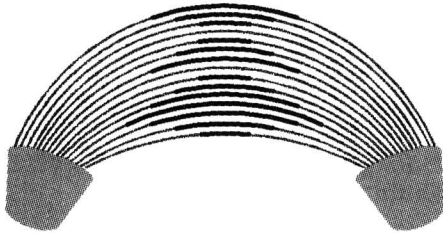


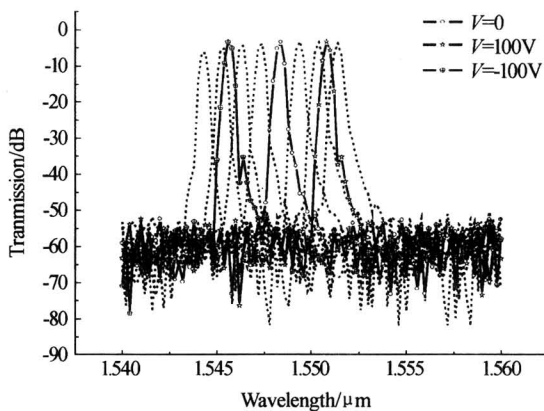
图 5 用光推挽实现的双推挽结构的阵列波导光栅结构  
Fig. 5 Sketch of wavelength tuner of AWG with the double push-pull using optical approach

按以上推理过程可得双推挽结构的 AWG 波长调谐量为

$$\Delta\lambda = 4\lambda_0 \frac{\Delta n_c \cdot \Delta L_e}{n_c \cdot \Delta L} \quad (15)$$

### 3 仿真结果

线性波长调谐器随电压变化可用 BPM 软件仿真,仿真参量如表 1. 图 6 反映了输出口波峰随电压变化的情况.



(a)None push-pull configuration

参量	数值
光栅衍射级 ( $m$ )	120
通道数 ( $N_{ch}$ )	8
AWG 阵列波导数 ( $M$ )	71
输入输出波导数	8
通道间隔/nm	1
相邻阵列波导长度差 $\Delta L/\mu\text{m}$	114.6
波导中心波长/ $\mu\text{m}$	1.55
自由光谱范围 FSR/nm	17.39

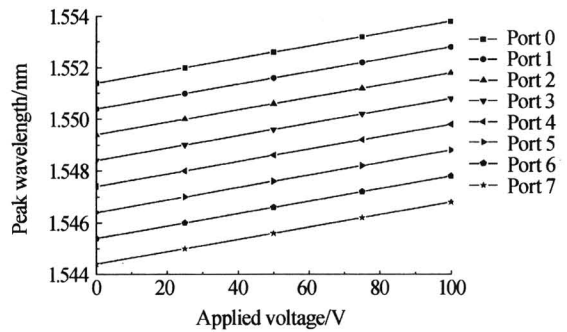
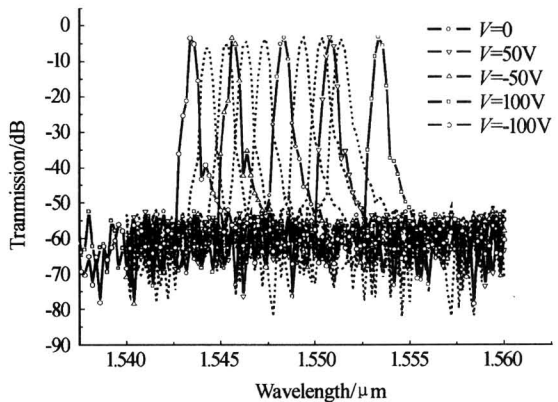


图 6 阵列波导输出口中心波长随外加电压的变化关系  
Fig. 6 Peak wavelength tuning varying with voltage on the output port of AWG tuner

图 7(a)表明了无推挽结构的 AWG 的波长调谐能力,在电压从  $-100\text{ V}$  到  $+100\text{ V}$  变化时,波长调谐范围约为  $5\text{ nm}$ . 图 7(b)反映了单推挽结构的 AWG 波长调谐情况,在外加电压相同的情况下,波长调谐范围约为  $10\text{ nm}$ . 图 7(c)为双推挽结构的 AWG 波长调谐仿真结果,在相同条件下,它的调谐范围达到了  $20\text{ nm}$ . 图中实线为中心波长随外加电压的变化.

另外,为了减少通道的干扰,在实际应用中,一般要求阵列波导有较低的相邻通道的交叉干扰. 由图 7 可以得到设计滤波器相邻通道的交叉干扰小于  $-35\text{ dB}$ ,能满足各领域的应用要求.



(b)Single push-pull configuration

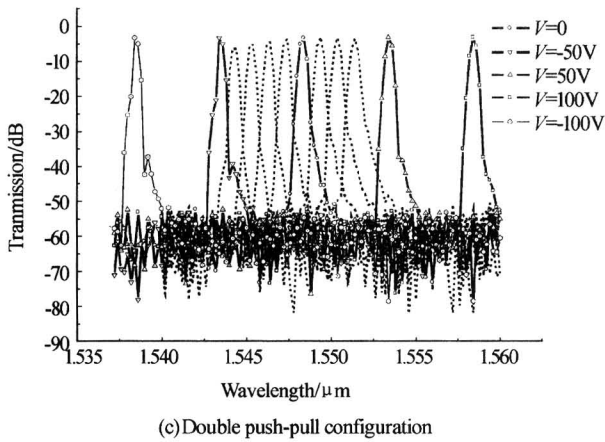


图7 基于AWG波长调谐滤波器的输出频谱,  $\Delta L_e = \Delta L$   
 Fig.7 Output spectrum of the designed wavelength tuner based on AWG,  $\Delta L_e = \Delta L$

## 4 结论

设计了基于AWG的电-光波长调谐滤波器,提出了单推挽和双推挽结构的波长调谐滤波器。用Optiwave软件分别对无推挽、单推挽及双推挽结构的调谐特征进行了仿真。结果表明,外加电压从-100V到+100V变化时,波长调谐范围分别为5nm、10nm和20nm,而且相邻通道的交叉干扰低于-35dB。这些电光调谐滤波器可应用于波长调制型传感,波长解调检测,光通讯波长路由等领域。

### 参考文献

- 1 Takahashi H, Oda K, Toba H, *et al.* Transmission characteristics of arrayed waveguide  $N \times N$  wavelength multiplexer. *J Lightwave Technol*, 1995, **13**(3): 447~455
- 2 Smit M K, Dam C V. PHASA based WDM devices, principles design and applications. *IEEE J Select Topic in Quantum Electron*, 1996, **2**(2): 236~250
- 3 Toyoda S, Ooba N, Kitoh T, *et al.* Wide tuning range and low operating power AWG based thermo optic wavelength tunable filter using polymer waveguide. *Electron Lett*, 2001, **37**(18): 1130~1132
- 4 Toyoda S, Ooba N, Kaneko A, *et al.* Wideband polymer thermo-optic wavelength tunable filter with fast response for WDM systems. *Electron Lett*, 2000, **36**(7): 658-660
- 5 鲍俊峰, 吴兴坤. 一种定向耦合器型高聚物光开关设计. 光子学报, 2005, **34**(3): 362~364  
 Bao J F, Wu X K. *Acta Photonica Sinica*, 2005, **34**(3): 362~364
- 6 Sano Y, Yoshino T. Fast optical wavelength interrogator employing arrayed waveguide grating for distributed fiber bragg grating sensor. *J Lightwave Technol*, 2003, **21**(1): 132~139
- 7 Cheyns J, Develder C, Breusegem E V, *et al.* Routing in an AWG-based optical packet switch. *Photonic Network Communications*, 2003, **5**(1): 69~80
- 8 Wang W, Shi Y, Olson D J, *et al.* Push-pull poled polymer Mach-Zehnder modulators with a single microstrip line electrode. *IEEE Photon Technol Lett*, 1999, **11**(1): 51~53
- 9 王科, 王欣艺, 林斌, 等. 阵列波导光栅解复用器的标量传输理论及其简化模型. 光子学报, 2003, **33**(9): 1072~1076  
 Wang K, Wang X Y, Lin B, *et al.* *Acta Photonica Sinica*, 2004, **33**(9): 1072~1076
- 10 Oh M C, Zhang H, Szep A, *et al.* Electro-optic polymer modulators for 1.55  $\mu\text{m}$  wavelength using phenyltetraene bridged chromophore in polycarbonate. *Appl Phys Lett*, 2000, **76**(24): 3525~3527
- 11 Spiekman L H, Amersfoorn M R, Vreede H D, *et al.* Design and realization of polarization independent phased array wavelength de-multiplexes using different array orders for TE and TM. *J Lightwave Technol*, 1996, **14**(6): 991~995
- 12 赵禹, 马春生, 张大明, 等. 聚合物阵列波导光栅复用器关键技术的研究. 光子学报, 2003, **33**(4): 417~421  
 Zhao Y, Ma C S, Zhang D M, *et al.* *Acta Photonica Sinica*, 2003, **33**(4): 417~421

## Wide Range Electro-optical Wavelength Tunable Filter Based on Polymer Arrayed Waveguide Grating

Wan Xu, Peng Baojin, Jin Hongzhen

*Information Optical Institute, Zhejiang Normal University, Zhejiang Jinhua 321004*

Received date: 2005-10-12

**Abstract** The theory that the wavelength of the polymer arrayed waveguide grating is tuned by electro-optical effect is analyzed based on the grating equation of the arrayed waveguide grating. Then two kinds of electro-optical wavelength tunable filter with single push-pull configuration and double push-pull configuration are presented. The experiments of computer simulation are respectively done by Optiwave software. The results show that the spectrum tuning range of the former is 5 nm or so by varying the applied voltage from  $-100$  V to  $100$  V, the range of the AWG with single push-pull configuration is 10 nm or so, and much wider tuning ranges can be obtained, over 20 nm, with dual push-pull configuration.

**Keywords** Integrated optic; Electro-optic effect; Tuning wavelength; Filter; AWG; Push-pull configuration



**Wan Xu** was born in Zhejiang Province in November, 1966. He received his M. S. degree from Hangzhou University in 1991. His major research interests include photoelectric information process and sensor technique.